

تخمین همزمان ضریب انتقال حرارت جابجایی و دمای گازهای داخل یک نازل موشک با استفاده از روش هدایت حرارتی معکوس

فرشاد کوثری

استادیار گروه مهندسی مکانیک - دانشکده فنی - دانشگاه تهران

محمود خداداد سریزدی

استادیار گروه مهندسی مکانیک - دانشکده فنی - دانشگاه تهران

اسدا... روشنایی ده

دانشجوی کارشناسی ارشد گروه مهندسی مکانیک - دانشکده فنی - دانشگاه تهران

در این مقاله تأثیر پارامترهای مهم در تخمین دمای ادیابتیک دیواره گازهای داخل نازل یک موشک و ضریب انتقال حرارت با استفاده از روش هدایت حرارت معکوس IHCP مورد بررسی قرار گرفته‌اند. پارامترها با استفاده از دمای اندازه گیری شده سطح خارجی نازل در یک تست استاتیک فرضی بدست می‌آیند. دمایان اندازه گیری شده فرضی با حل مستقیم مسئله هدایت در پوسته، با در نظر گرفتن پارامترهای فیزیکی نازل و اعمال خطاهای تصادفی (Random Errors) به دمایان محاسبه شده تعیین می‌گردند. انتقال حرارت هدایتی در پوسته نازل یک بعدی و در جهت شعاع درنظر گرفته می‌شود و برای تعیین توزیع درجه حرارت در پوسته از روش حجم کنترل محدود پتانکار (Patankar's Finite Control Volume Method) با فرمولاسیون ضمنی (Implicit Formulation) استفاده می‌گردد.

مقدمه

پارامترها که نهایتاً جهت محاسبات تنش حرارتی پوسته نازل موردنیاز می‌باشند باید معمولاً با اندازه گیری تعیین شوند. نصب دماسنجه در سطح داخلی نازل همراه با مشکلات عدیده‌ای می‌باشد: از جمله اینکه با سوراخ کردن پوسته نازل جهت نصب ترموموکوپل امکان صدمه خوردن به ساختار نازل وجود دارد و معمولاً ترموموکوپل تاب و توان تحمل درجه حرارت‌های بالا و فرسایش ناشی از حرکت گازهای داخل نازل را ندارد. برای اجتناب از این مشکلات می‌توان ترموموکوپل‌ها را در پوسته خارجی نازل نصب کرد و با استفاده از روش هدایت حرارت معکوس پارامترهای موردنظر را تخمین زد.

در این مقاله یک امکان سنجی از تخمین ضریب انتقال حرارتی جابجایی گازهای داخل یک نازل موشک با استفاده از روش هدایت حرارتی معکوس

تعیین توزیع دما در پوسته نازل موشک مستلزم علم و آگاهی به حرارت انتقال یافته از گازهای ناشی از احتراق به سطح درونی نازل می‌باشد. قسمت عمده این حرارت از طریق جابجایی و بر طبق فرمول سرمایش نیوتون ($T_s - T_{\text{nw}} = h^q$ ، به سطح انتقال می‌باشد. پارامترهای مهم در فرمول فوق ضریب انتقال حرارت جابجایی h و دمای دیواره ادیابتیک T_{nw} می‌باشند. هرچند روابط نیمه تجربی متعددی جهت تخمین پارامترها پیشنهاد گردیده است (برای مثال مرجع ۱)، لیکن پیچیدگی‌های ذاتی جریان گاز در داخل نازل موشک (از قبیل ترکیب ذرات شیمیایی در مجاورت سطح نازل، دوباره آرام شدن جریان، جدایی، تشعشع و غیره)، (مرجع ۲) در این روابط ملاحظه نشده‌اند و بنابراین از دید کلی این روابط از دقت مناسبی برخوردار نمی‌باشند. بدین ترتیب این

مطابق با متوسط ابعاد هر قسمت مخروطی شکل نازل تقریب زد (شکل ۱). برای این استوانه های توخالی معادله توصیف کننده انتقال حرارت در جهتشعاعی بصورت زیر است :

$$\frac{1}{\alpha} \frac{\partial}{\partial r} \left[r \frac{\partial T}{\partial r} \right] = \frac{1}{\alpha} \frac{\partial T}{\partial t} \quad (1)$$

شرایط مرزی و اولیه حاکم بر مسئله عبارتند از

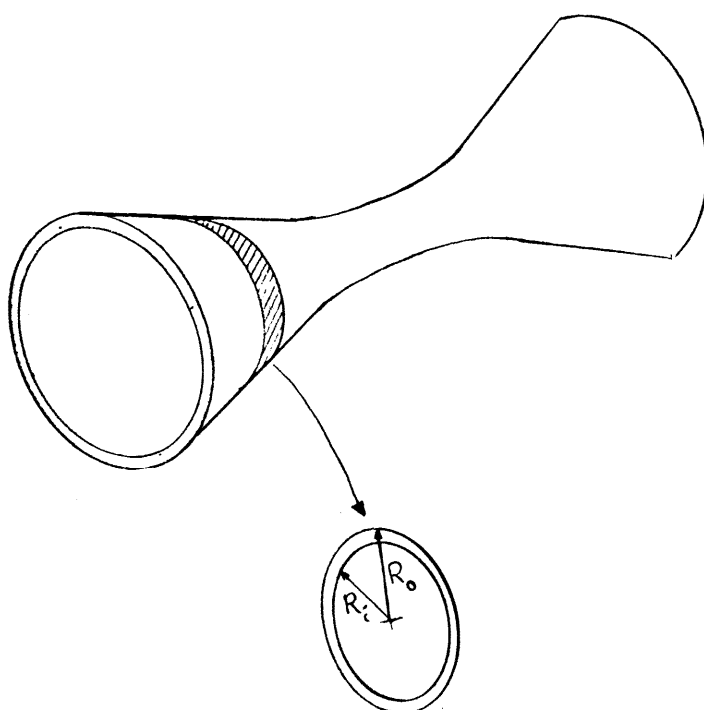
$$\begin{aligned} a) \quad h(T_{aw} - T) &= -k \frac{\partial T}{\partial r} \dots r = R_i \\ b) \quad \varepsilon \sigma (T^4 - T_{sky}^4) &= -k \frac{\partial T}{\partial r} \dots r = R_o \\ c) \quad T = T_0 &\dots t = 0 \end{aligned} \quad (2)$$

در معادلات فوق α ضریب نشر و k ضریب هدایت حرارتی میباشند و T_{sky} دمای آسمان است. در حال حاضر یک حل دقیق و آналیتیک برای سیستم معادلات (۱) و (۲) موجود نمی باشد و بنابراین برای حل معادلات میتوان از روش‌های عددی اجزاء محدود یا اختلاف محدود استفاده کرد.

انجام پذیرفته است. از بین روش‌های معمول هدایت حرارت معکوس روش "تعیین تابع به طور قدم به قدم" Sequential Function Specification Method (مرجع ۳) جهت انجام محاسبات معکوس انتخاب شده است. این روش نسبت به روش تکرار (Mehta) (مرجع ۴ و ۵) از لحاظ پایداری و زمان کامپیوتروی کارآیی بهتری را دارد میباشد.

تخمین پارامترها با روش تعیین تابع بطور قدم به قدم

در این قسمت فرمولبندی روش "تعیین تابع بطور قدم به قدم" برای حل مسایل هدایت حرارت معکوس که برای اولین بار توسط Beck (مرجع ۳) معرفی گردیده است ارائه میشود. در این روش ابتدا نیاز به یک مدل فیزیکی مناسب جهت حل مستقیم انتقال حرارت هدایتی گذرا در پوسته نازل داریم. بطور کلی در پوسته نازل انتقال حرارت را میتوان در جهتشعاعی درنظر گرفت و از مولفه جهت طولی صرفنظر نمود (مرجع ۶). همچنین نازل را میتوان به وسیله تعدادی استوانه های توخالی ایزوله شده با ابعادی



$$\begin{aligned} T_{aw} &= 2000 \text{ K} \\ h &= 1000 \text{ W/m.K} \\ T_{sky} &= 293 \text{ K} \\ R_i &= 0.16 \text{ m} \\ R_o &= 0.175 \text{ m} \\ k &= 15 \text{ W/m.K} \\ \alpha &= 2 \cdot 10^{-5} \text{ m}^2/\text{sec} \\ \varepsilon &= 0.9 \end{aligned}$$

شکل ۱: مدلسازی یک بعدی هدایت حرارت در دیواره یک نازل خنک نشده.

$$\{\beta\} = \begin{Bmatrix} T_{aw,m} \\ h_m \end{Bmatrix}$$

تابع مجموع مربعات خطاهای S با استفاده از نماد ماتریسی به صورت زیر تعریف می‌شود:

$$S = \{ \{Y\} - \{T\} \}^T \{ \{T\} - \{Y\} \} \quad (5)$$

در معادله فوق نماد T نشان دهنده ماتریس جابجاشده است و $\{T\}$ تابعی از $\{\beta\}$ می‌باشد. برای بدست آوردن بهترین تخمین پارامترهای مجهول مشتق تابع S نسبت به $\{\beta\}$ را مساوی صفر قرار می‌دهیم. مشتق S نسبت به $\{\beta\}$ به صورت زیر نوشته می‌شود.

$$\{\partial_\beta\} S = -2 [\{\partial_\beta\} \{T\}^T] \{ \{Y\} - \{T\} \} = 0 \quad (6)$$

در معادله فوق $\{\partial_\beta\}$ ماتریس عملکر مشتق می‌باشد.

$$\{\partial_\beta\} = \begin{vmatrix} \frac{\partial}{\partial T_{aw}} \\ \frac{\partial}{\partial h} \end{vmatrix}$$

حال ماتریس $[X]_{rx2}$ به صورت زیر تعریف می‌گردد.

$$[X]_{rx2} = \{ \{\partial_\beta\} \{T\}^T \}^T \quad (7)$$

این ماتریس، ماتریس حساسیت نامیده می‌شود (مرجع ۸). مولفه‌های این ماتریس را ضرایب حساسیت مینامند. با جایگزین کردن ماتریس حساسیت در معادله (۶) رابطه ماتریسی زیر بدست می‌آید.

$$[X]^T \{ \{Y\} - \{T\} \} = 0 \quad (8)$$

از معادله فوق مولفه‌های $\{\beta\}$ که S را به حداقل میرساند بدست می‌آیند.

از دید کلی معادله (۸) نسبت به $\{\beta\}$ غیرخطی می‌باشد. معادله فوق از روش گوس (Gauss linearization method) خطی می‌شود. در این روش ماتریس $\{T\}$ با دوچم勒 اول بسط تایلور آن حول تخمین $\{\beta\}$ یعنی $\{\tilde{\beta}\}$ جایگزین می‌گردد. بدین ترتیب معادله (۸) به صورت زیر نوشته می‌شود:

$$[\tilde{X}]^T [\{Y\} - \{\tilde{T}\} - \{\tilde{X}\} \{ \{\beta\} - \{\tilde{\beta}\} \}] = 0 \quad (9)$$

در معادله فوق $\{T\}$ با استفاده از پارامترهای تخمین $\{\tilde{\beta}\}$ بدست می‌آیند. حال با توجه به اینکه معادله

در مسئله معکوس یک یا چند پارامتر برای مثال خواص ترموفیزیکی ماده و یا شرایط مرزی مجهول می‌باشد و با استفاده از درجه حرارت‌های اندازه گیری شده در یک یا چند نقطه از دامنه مسئله معلوم می‌گردد. پارامترهای مجهول در مسئله فعلی ضریب انتقال حرارت جابجایی $h(t)$ و دمای دیواره آدیاباتیک $T_{aw}(t)$ می‌باشند. این پارامترها به صورت زمانی کسته با بردارهای زیر تعریف می‌گردند.

$$h(t) = h [h_1, h_2, \dots, h_{m-1}, h_m, h_{m+1}, \dots, h_M]$$

$$T_{aw} = T_{aw} [T_{aw,1}, T_{aw,2}, \dots, T_{aw,m-1}, T_{aw,m}, T_{aw,m+1}, \dots, T_{aw,M}] \quad (3)$$

هدف مسئله معکوس تعیین مولفه‌های این بردارها می‌باشد. فرض بر این است که تا مولفه‌های $(m-1)$ این بردارها تعیین شده‌اند و اکنون با استفاده از معیار حداقل مربعات مولفه m بدست می‌آید. بدین منظور از دمای اندازه گیری شده آتی بعد از قدم زمانی $m-1$ یعنی $Y_m, Y_{m+1}, \dots, Y_{m+r-1}$ استفاده می‌گردد. در این مرحله فرض می‌شود که در طول r قدم زمانی بعد از m توابع λ و T_{aw} ثابت هستند بدین صورت که

$$h_{m+i-1} = h_m \quad i = 1, 2, \dots, r \quad (3a)$$

$$T_{aw,m+i-1} = T_{aw,m} \quad i = 1, 2, \dots, r \quad (3b)$$

مقادیر h_m و T_{aw} طوری تخمین زده می‌شوند که تابع مربعات خطاهای که بصورت زیر تعریف می‌شود

$$S^{(r)}_m (h_m) = \sum_{i=1}^r [Y_{m+i-1} - T_{m+i-1}]^2 \quad (4)$$

به حداقل ممکن بررسد. در این تابع Y_{m+i-1} اطلاعات اندازه گیری T_{m+i-1} درجه حرارت‌های محاسبه شده از معادلات (۲) و با استفاده از h_m و $T_{aw,m}$ که در معادله (۳) تعریف شده‌اند، بدست می‌آیند.

فرمولاسیون مسئله معکوس به وسیله نماد ماتریسی به صورت زیر است (مرجع ۷): ابتدا ماتریسهای ستونی زیر تعریف می‌گردند:

$$\{T\} = \text{ماتریس ستونی حاوی دماهای محاسبه شده} =$$

$$\{Y\} = \text{ماتریس ستونی حاوی دماهای اندازه گیری شده} =$$

$$\text{ماتریس ستونی حاوی پارامترهای مجهول}$$

$$Y = T_c(1+A R_n) \quad (12)$$

که در فرمول فوق:
دماهی اندازه گیری
دماهی محاسبه شده
دامنه خطای
عدد تصادفی

Y:
 T_c :
 $A: 0 < P < 1$
 $R_n: -1 < R_n < 1$

بررسی نتایج

شکل ۲ حساسیت دماهی سطح خارجی را به پارامترهای موردنظر نشان میدهد. همانطور که مشاهده میشود ضریب حساسیت پارامتر T_{aw} در تمامی مدت اندازه گیری بیشتر از ضریب حساسیت h میباشد. این بدان معنی است که برای تخمین مناسب h باید تعداد داده های بیشتری را نسبت به T_{aw} بکار گرفت یا به عبارت دیگر اگر پارامترهای روش معکوس طوری انتخاب شوند که h به خوبی تخمین زده شود، دماهی دیواره آدیاباتیک T_{aw} نیز خود خود به خوبی تخمین زده خواهد شد. به همین دلیل در تعیین پارامترهای روش معکوس رفتار ضریب انتقال حرارت جابجایی h مدنظر گرفته شده است.

شکل ۳ تاثیر تعداد دماهای آتی جهت تخمین ضریب انتقال حرارت را نشان میدهد. همچنانکه از شکل مشاهده میشود با افزایش تعداد درجه حرارت های آتی تخمین بهتری از این پارامتر را میتوان بدست آورد. با توجه به شکل، استفاده از ۵ دماهی آتی تخمین نسبتاً پایداری را نتیجه میدهد. تاثیر خطاهای تصادفی در شکل ۴ نشان داده شده است. تاثیر اینگونه خطاهای در ابتدا ناچیز و سپس با افزایش زمان افزایش میابد. این روند با مراجعت به منحنی ضرایب حساسیت قابل توجیه میباشد.

در جدول ۱ تاثیر مقدار قدم زمانی Δt در محاسبات معکوس را نشان میدهد. در این بررسی اطلاعات با سه دماهی آتی و یک درصد خطای تصادفی محاسبه شده اند. همانطور که از جدول مشاهده میشود Δt بزرگتر باعث پایداری تخمین بدست آمده میگردد. البته در Δt بزرگتر جواب پایدارتر همراه با

فوق نسبت به $\tilde{\beta}$ خطی میباشد یک روش تکراری را میتوان جهت تخمین β به صورت زیر تعریف کرد.

$$\left\{ \frac{T_{aw}}{h} \right\}_{(n+1)}^{(n+1)} = \left\{ \frac{T_{aw}}{h} \right\}_{(n)}^{(n)} + [P]^{-1} \left[\tilde{[X]}^{(n)} \left\{ \{Y\} - \{T\}^{(n)} \right\} \right] \quad (10)$$

در معادله فوق ماتریس $[P]$ به صورت زیر تعریف میشود.

$$[P] = \left[[X]^T \tilde{[X]} \right]^{(n)} \quad (11)$$

تا زمانی که معیار همگرایی که به صورت زیر تعریف شده است برقرار نگردد تکرار ادامه میابد.

$$\left| \frac{\tilde{\beta}_j^{(n+1)} - \beta_j^{(n)}}{\beta_j^{(n)} + \delta_1} \right| < \delta \quad j = 1, \dots, 4$$

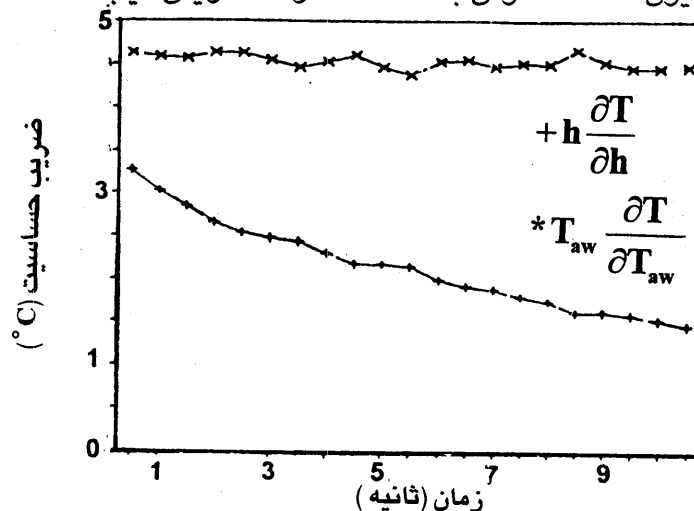
مقادیر δ و δ_1 در مربع ۸ به ترتیب 10^{-4} و 10^{-10} در نظر گرفته شده اند.

شبیه سازی اندازه گیری درجه حرارت پوسته خارجی نازل موشک در هنگام تست استاتیک به صورت زیر انجام پذیرفت. ابتدا معادله هدایت حرارتی (۱) در یک استوانه توخالی بابعاد و خواص فیزیکی شکل ۱ با روش عددی حجم کنترل محدود پتانکار و با فرمولاسیون ضمنی حل گردید. برای خطی نمودن شرط مرزی سطح بیرونی از روش نیوتون رافسون استفاده شد. بدین صورت توزیع دماهی گاز در داخل پوسته نازل و به ویژه دماهی سطح خارجی محاسبه گردید. این درجه حرارتها به عنوان اطلاعات اندازه گیری برای حل مسئله معکوس مورد استفاده قرار گرفت. بدینهی است که در یک تست واقعی دماهای اندازه گیری با این دقت را نمیتوان بدست آورد. البته بسیاری از خطاهای اندازه گیری را میتوان به حداقل رسانید. تنها خطاهای تصادفی که ناشی از عواملی از قبیل گرد شدن اطلاعات یا پارازیتهای الکتریکی و غیره هستند را نمیتوان از بین برد. این عوامل که باعث خطاهای تصادفی هستند را میتوان با استفاده از اعداد تصادفی و فرمول زیر شبیه سازی کرد:

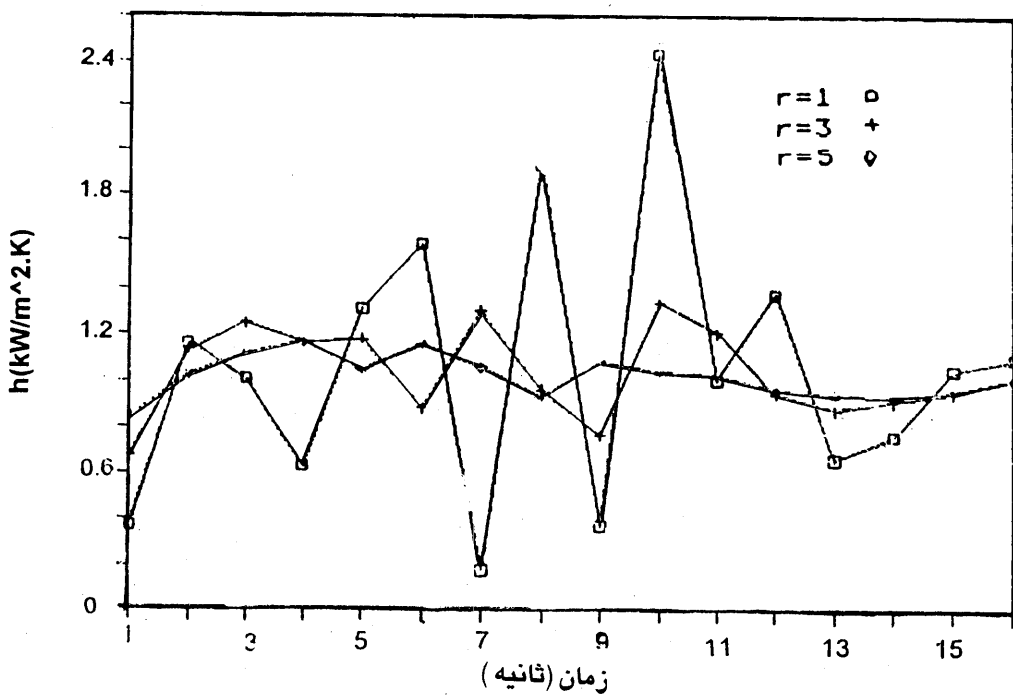
جای شرط مرزی تشعشعی شرط آدیاباتیک در نظر گرفته شده است این انتظار می‌رود که پارامترهای تخمین زده شده در مراجع ۴ و ۵ با خطا همراه می‌باشد. در شکل ۵ مقایسه جوابهای به دست آمده برای انتقال حرارت به سطح داخلی با شرط مرزی تشعشعی و آدیاباتیک را نشان میدهد. همانطور که در شکل مشاهده می‌شود جایگزین کردن شرط مرزی تشعشعی با شرط آدیاباتیک باعث خطا در تخمین انتقال حرارت به سطح داخلی می‌گردد که این خطا در زمانهای اولیه حدود ۳ درصد بوده و بطور پیوسته تا ۴۰ درصد افزایش می‌آید.

یک خطای انحرافی (Bias Error) حدود دو درصد در $\Delta t = 1.0 \text{ Sec}$ و حدود ۵٪ در $\Delta t = 0.5 \text{ Sec}$ می‌شود. تاثیر اندازه Δt در محاسبات معکوس دقیقاً بر عکس محاسبات مستقیم می‌باشد بدین ترتیب که در محاسبات عددی مستقیم هرچه از Δt کوچکتر استفاده شود باعث پایدارتر شدن جواب می‌شود در حالیکه در محاسبات معکوس Δt کوچک باعث ناپایداری و واکرا شدن جواب می‌شود.

در مراجع ۴ و ۵، با روش تکرار، محاسبات معکوس برای تخمین پارامترهای موردنظر انجام گرفته است و لیکن در فرمولاسیون مسئله معکوس به



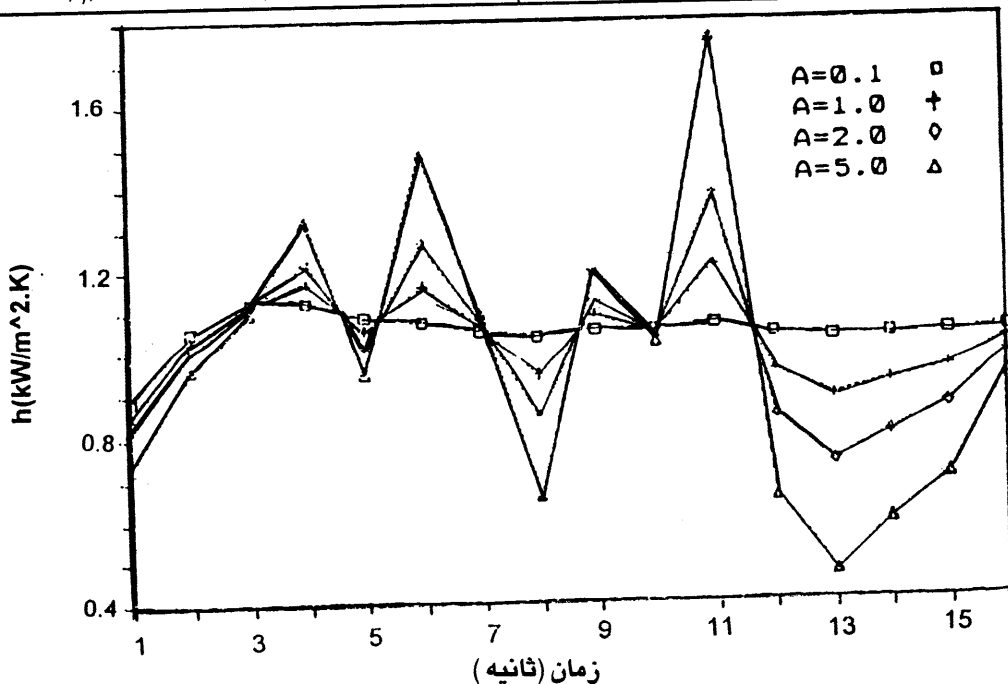
شکل ۲: ضرایب حساسیت دمای سطح خارجی نسبت به ضریب انتقال حرارت جابجایی و دمای دیواره آدیاباتیک.



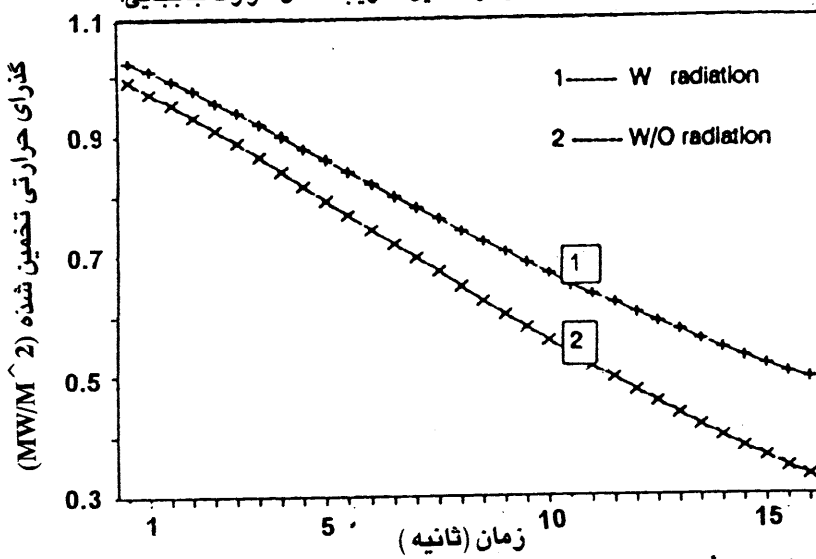
شکل ۳: تأثیر تعداد دمای آتی اندازه گیری شده در تخمین ضریب انتقال حرارت جابجایی.

جدول ۱: تأثیر بزرگی قدم زمانی در تخمین ضریب انتقال حرارت جابجایی.

t	$Dt=0.1$	$Dt=0.5$	$Dt=1.0$	t	$Dt=0.1$	$Dt=0.5$	$Dt=1.0$
	(ثانیه)	(ثانیه)	(ثانیه)		(ثانیه)	(ثانیه)	(ثانیه)
۱/۰۰	۱۱۵۹/۲	۹۶۳/۴	۸۸۸/۳	۹/۰۰	۳۳۹/۸	۱۰۱۹/۴	۱۰۴۷/۳
۲/۰۰	۱۳۶۲/۴	۱۱۹۴/۲	۱۰۵۵/۸	۱۰/۰۰	۱۲۶۷/۵	۱۰۲۶/۲	۱۰۴۸/۱
۳/۰۰	۱۶۰/۶	۱۰۰۳/۶	۱۱۲۵/۲	۱۱/۰۰	۹۵۲/۲	۱۰۲۷/۱	۱۰۵۰/۸
۴/۰۰	۱۲۱۰/۰	۱۰۱۱/۳	۱۱۱۹/۶	۱۲/۰۰	۶۹۹/۵	۱۰۱۲/۷	۱۰۴۸/۷
۵/۰۰	۱۵۸۷/۵	۱۰۱۴/۷	۱۰۰۸/۹	۱۳/۰۰	۱۲۱۶/۰	۱۰۲۲/۲	۱۰۴۷/۸
۶/۰۰	-۶/۵	۱۰۲۰/۱	۱۰۶۵/۴	۱۴/۰۰	-۲۳۶/۸	۱۰۲۸/۱	۱۰۴۷/۴
۷/۰۰	۱۳۹۸/۸	۱۰۲۱/۴	۱۰۵۱/۴	۱۵/۰۰	-۱۲۱۰/۹	۱۰۱۱/۲	۱۰۴۷/۲
۸/۰۰	-۶/۶	۱۰۲۶/۸	۱۰۴۵/۹	۱۶/۰۰	۳۲۸۶/۵	۹۹۸۸/۱	۱۰۴۷/۰



شکل ۴: تأثیر خطاهای تصادفی در تخمین ضریب انتقال حرارت جابجایی.



شکل ۵: تأثیر منظور کردن شرط مرزی تشعشعی در تخمین شار حرارتی.

مراجع

- 1 - Bartz, D. R.(1967). "A simple equation for rapid estimation of rocket nozzle convective heat transfer coefficient." *Jet Propulsion*, 27(1), 49-51.
- 2 - Bartz, D. R.(1986). "Survey of relationships between theory and experiment for convective heat transfer in rocket combustion gases." *Advances in rocket propulsion*, S. S. Penner (Ed.), AGARD Technivision Services, Manchester, England.
- 3 - Beck, J. V., Blackwell, B., and Clair, C.R. St.(Jr.)(1985). *Inverse heat conduction*, Wiley Intersciences, New York.
- 4 - Mehta, R. C.(1977). "Solution of the inverse conduction problem." *AIAA Journal*, 15(9), Sep., 1355-1356.
- 5 - Mehta, R. C.(1981). "Estimation of heat - transfer coefficient in a rocket nozzle." *AIAA Journal*, 19(8), Aug., 1085-1086.
- 6 - Schoyer, H. F. R.(1980)."Comparison of methods for rocket nozzle temperature calculations." *AIAA Journal*, 18(7), Jul.
- 7 - Khodadad, M. K., and Altiero, N. J.(1992). "Characterization of the interior of an inhomogeneous body using surface temperature and/or heat flux measurments." *Personal communications*
- 8 - Beck, J. V., and Arnold, K. J.(1977). *Parameter estimation in engineering and science*, Wiley, New York.